



Journal of Natural Environmental Hazards, Vol 12, Issue 35, March 2023

## Morphometry and reconstruction of the Moallem-Kalaye landslide

Gholam Hassan Jafari<sup>1\*</sup> ID, Roohallah Khodaei<sup>2</sup>

1. Corresponding Author, Associate Professor of Geomorphology, Zanjan University, Iran  
2. M.Sc. of Geomorphology, Zanjan University, Iran.

---

### Article Info

### ABSTRACT

**Article type:**

Research Article

**Article history:**

Received: 05 October 2021

Revised: 12 March 2022

Accepted: 11 April 2022

**Keywords:**

Alamut, Shahroud, Slope movements, Conglomerate.

Landslides move a huge volume of materials from a place to another place. Moreover, landslides may lead sediment to increase in Downstream of the basin which can be a threat to the populations and may cause erosion, in addition to affecting the landscape of the region. In this article, the landslide of Moallem-Kalaye in Alamut basin, one of the main sub-basins of the Shahroud, is investigated. The basis of the identification and studying of Moallem-Kalaye landslide is on field studies and Phenomenological interpretation. In this regard, in addition to the morphometry of different forms inside the landslide, the authors have climbed the surrounding heights and examined the role of related landforms in the happening of the catastrophic disaster. The topography prior to the landslide was rebuilt by the ArcGIS software and the result topography was analyzed against the current status. Next, the volume of the moved materials was estimated. The amount of the materials extracted in the landslide, by raster calculation in ArcGIS. The landslide of Moallem-Kalaye with the width of 1.3 kilometers (the crown part of the landslide), the longitude of 1.6 kilometers, and the average depth of 80 meters has taken place in the conglomerate of the Andj, which has moved a sum of 91 million cubic meters. The existence of a conglomerate with a very steep slope and marl filled with water, has led a wide area of materials to move. The area of the surface of failure has been roughly 2.632 square kilometers, the materials have scattered on a surface of more than 13.5 square kilometers. Findings show that weaker landslides in the upper side, ruins the hydrological situations of the lower side, regions and provides the grounds for huge landslides.

---

**Cite this article:** Jafari, G., & Khodaei, R. (2023). Morphometry and reconstruction of the Moallem-Kalaye landslide. Journal of Natural Environmental Hazards, 12(35), 59-78. DOI: 10.22111/jneh.2022.40129.1849



© Gholam Hassan Jafari.

DOI: 10.22111/jneh.2022.40129.1849

Publisher: University of Sistan and Baluchestan

---

\* Corresponding Author Email: jafarihas@znu.ac.ir



مجله علمی پژوهشی مغایرات محیط طبیعی، دوره ۱۲، شماره ۳۵، فروردین ۱۴۰۲

## مورفومتری و بازسازی زمین‌لغزش معلم کلایه

غلام حسن جعفری<sup>۱\*</sup>، روح الله خدابی<sup>۲</sup>

۱. دانشیار ژئومورفولوژی، گروه جغرافیا، دانشگاه زنجان (نویسنده مسئول)

۲. گروه جغرافیا، دانشگاه زنجان

### اطلاعات مقاله

نوع مقاله: مقاله پژوهشی

تاریخ دریافت: ۱۴۰۰/۰۷/۱۳

تاریخ ویرایش: ۱۴۰۰/۱۲/۲۱

تاریخ پذیرش: ۱۴۰۱/۰۱/۲۲

### واژه‌های کلیدی:

موت، شاهروд، حرکات

دامنهای، کنگلومرا.

زمین‌لغزش‌ها حجم زیادی از مواد را در یک مکان جایه‌جا نموده و در جای دیگر بر جای می‌گذارند، به علاوه باعث افزایش رسوب در پایین دست حوضه می‌شوند که علاوه بر تهدیدهای جمعیتی و فرسایشی، چشم‌انداز منطقه را بهشت متأثر می‌سازند. در این مقاله زمین‌لغزش معلم کلایه در حوضه الموت، یکی از زیرحوضه‌های اصلی شاهرود، بررسی می‌گردد. اساس تشخیص، شناسایی و بررسی زمین‌لغزش معلم کلایه بر مشاهدات میدانی و تفسیر پدیدارشناسانه آن استوار است. به این منظور، علاوه بر مورفومتری اشکال مختلف در داخل خود زمین‌لغزش، به مناطق مرتفع مسلط به زمین‌لغزش صعود نموده و نقش لنده‌رم‌های مسلط به زمین‌لغزش در موقع این حادثه کاتاستروفیک موردارزیابی قرار گرفت. با استفاده از نرم‌افزار ArcGIS، توپوگرافی قبل از زمین‌لغزش بازسازی گردید و نسبت به وضع موجود، تجزیه و تحلیل شد. با انجام محاسبات رسترن در GIS، حجم مواد تخلیه شده توسط زمین‌لغزش برآورد گردید. زمین‌لغزش معلم کلایه با ابعاد  $1/3$  کیلومتر عرض (قسمت تاج زمین‌لغزش)،  $1/6$  کیلومتر طول و متوسط  $80$  متر عمق در کنگلومرا اندز رخداده و حجمی معادل  $91$  میلیون مترمکعب مواد را جایه‌جا نموده است. حضور کنگلومرا با شیب بسیار تند و سیلتستون مارن دار که با جذب آب که حالت اشیاع داشته است منجر به جایه‌جایی مواد در یک سطح وسیع شده است. مساحت سطح گسیختگی زمین‌لغزش در حدود  $2632$  کیلومترمربع و گسترش مواد جایه‌جاشده در سطحی معادل  $13/5$  کیلومترمربع است. زمین‌لغزش‌های کوچک در بالادست، شرایط هیدرولوژیکی مناطق پایین دست را به هم می‌ریزد و شرایط زمین‌لغزش‌های بزرگ فراهم می‌نماید.

استناد: جعفری، غلامحسن، خدابی، روح الله. (۱۴۰۲). مورفومتری و بازسازی زمین‌لغزش معلم کلایه. مغایرات محیط طبیعی، ۱۲(۳۵)، ۵۹-۷۸.

DOI: 10.22111/jneh.2022.40129.1849



© غلام حسن جعفری\* روح الله خدابی.

ناشر: دانشگاه سیستان و بلوچستان

**مقدمه**

زمین‌لغزش‌های مشخص که می‌توانند برای زندگی انسان خیلی مخرب و خطرناک باشند عبارت‌اند از حرکات سریع مقدار زیادی از مواد خاکی و سنگی. شناسایی حرکتی که تمام مشخصات جابه‌جایی توده‌ای مواد را دارا باشد مشکل است. حرکت اولیه ممکن است از لغزش یک سنگ یا مواد آواری یا جریان زمینی آغاز شود. آنچه به صورت سقوط یا لغزش شروع می‌شود ممکن است بعداً برای شکستگی و تخریب مواد و تحت تأثیر عوامل انتقال‌دهنده، مانند هوا و آب، با سرعت زیاد، به جریان گلی (گل‌آسود) تبدیل شود (چورلی<sup>۱</sup> و همکاران، ۱۳۹۳). زمین‌لغزش‌ها مقدار زیادی از مواد را از یک مکان جابه‌جا نموده و در جای دیگر بر جای می‌گذارند؛ به علاوه باعث افزایش رسوب در پایین دست حوضه می‌شوند (هوویس<sup>۲</sup> و همکاران، ۱۹۹۷؛ کوروپ<sup>۳</sup>، ۲۰۰۵؛ اسچورچ<sup>۴</sup> و همکاران، ۲۰۰۶؛ چن<sup>۵</sup>، ۲۰۰۹؛ امیراحمدی و همکاران، ۲۰۱۶) که علاوه بر تهدیدهای جمعیتی و فرسایشی، چشم‌انداز منطقه را بهشت متاثر می‌سازد (سارو<sup>۶</sup> و همکاران، ۲۰۱۶؛ خضری و همکاران، ۲۰۱۳). در مناطق کوهستانی فرآیندهایی همچون زمین‌لرزه و سولیفلوکسیون می‌تواند زمین‌لغزش‌های فراوانی را ایجاد نماید. درواقع وجود شیب سطوح ارضی مسبب انواع مختلف حرکات دامنه‌ای، از زمین‌لغزش تا حرکات آرام خاک در خزش می‌شود. ریزش، لغزش، پرش (Topple)، سقوط بهمن، صخره و سنگ، سولیفلوکسیون، لغزش خاک، انتشار و حرکات پیچیده دامنه‌های شیب‌دار همه در زیرمجموعه زمین‌لغزش قرار می‌گیرند (وارنز<sup>۷</sup>، ۱۹۷۸؛ شهابی و هاشم، ۲۰۱۵؛ چاو<sup>۸</sup> و همکاران، ۲۰۰۴؛ مالامود<sup>۹</sup> و همکاران، ۲۰۰۴؛ ون دن اکخاوت<sup>۱۰</sup> و همکاران، ۲۰۰۷؛ هونگر<sup>۱۱</sup> و همکاران، ۲۰۱۴). زمین‌لغزش‌ها با توجه به عمق، به دودسته سطحی و عمقی تقسیم می‌شوند. عمق زمین‌لغزش‌های سطحی به طور متوسط دو متر است؛ در صورتی که عمق زمین‌لغزش‌های عمیق، به بیش از ۲۰ متر می‌رسد و ممکن است سنگ‌بستر را متأثر سازند (ون آسچ<sup>۱۲</sup> و همکاران، ۱۹۹۹). زمین‌لغزش‌های بزرگ، موضوع بسیار نگران‌کننده‌ای در سراسر جهان، در حوزه تحقیقات علوم زمین است. برای مثال، زمین‌لغزش سیمراه در ایران را محققان فراوانی از جمله شعاعی و قیومیان (۱۹۹۸) هاریسون<sup>۱۳</sup> و فالکون<sup>۱۴</sup> (۱۹۳۸) و واتسون<sup>۱۵</sup> و رایت<sup>۱۶</sup> (۱۹۶۹) مورد مطالعه قرار داده‌اند. در این زمین‌لغزش که در ۱۰۵۰ سال پیش (۲۰۲۱) ایجاد شده، حجمی مابین ۲۰۰۹۱۰۸ تا ۳۰۰۹۱۰۸ مترمکعب خاک، جابه‌جا شده است (رید و همکاران<sup>۱۷</sup>، ۲۰۰۸).

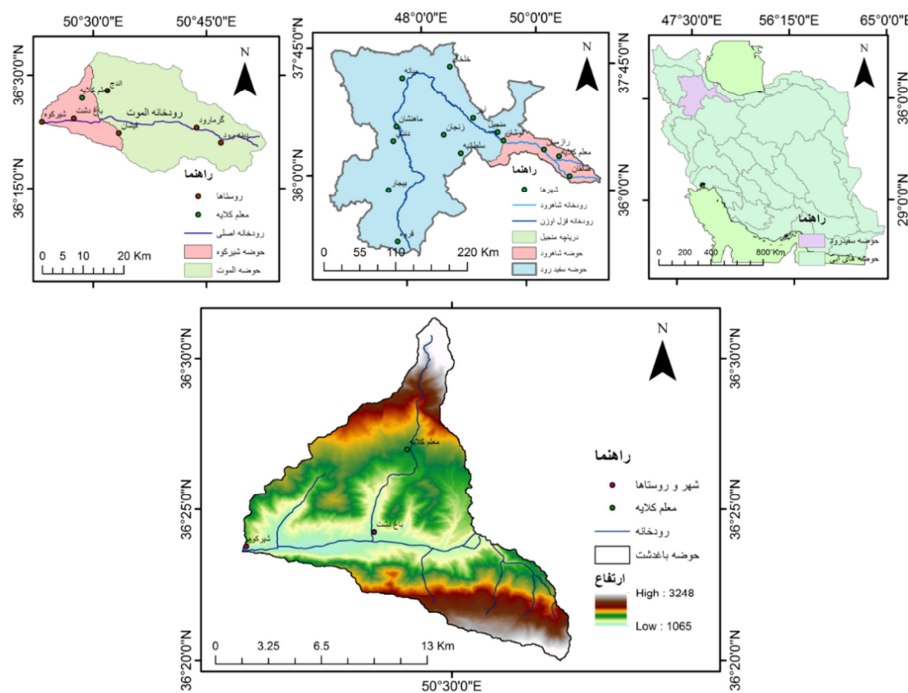
- 
1. Chorley
  2. Hovius
  3. Korup
  4. Schuerch
  5. Chen
  6. Saro
  7. Varnes
  8. Chau
  9. Malamud
  10. Van Den Eeckhaut
  11. Hungr
  12. Van Asch
  13. Harrison
  14. Falcon
  15. Watson
  16. Wright
  17. Reid et al.

برآورده حجم زمین‌لغزش یکی از دغدغه‌های اصلی محققان علوم زمین است؛ چراکه برآورده حجم زمین‌لغزش در ارزیابی شدت خطر برنامه‌ریزی ریسک و کاهش خطرات ناشی از آن بسیار مهم است. روش‌های تخمین حجم زمین‌لغزش در پنج گروه مختلف ارائه شده‌اند: (الف) میدانی، (ب) مدل‌سازی فیزیکی زمین‌لغزش، (ج) مدل‌سازی تحریبی، (د) تجزیه و تحلیل مدل رقومی ارتفاع (DEM) چند زمان و (ه) تخمین‌های هندسی (لی روکس<sup>۱</sup> و همکاران، ۲۰۱۱؛ لوگای زی<sup>۲</sup>، ۲۰۰۸؛ سامین<sup>۳</sup> و همکاران، ۲۰۱۲). حجم زمین‌لغزش عامل مهمی در ارزیابی خطرات احتمالی آن بر روی پدیده‌های در معرض خطر است؛ چراکه تا حدودی به کمک حجم زمین‌لغزش می‌توان مسافت انتشار مواد و حدود مناطق در معرض آسیب و خسارت را مشخص نمود (کورومنیاس<sup>۴</sup>، ۱۹۹۶؛ وون روت<sup>۵</sup> و همکاران، ۲۰۱۶؛ جاکوب<sup>۶</sup>، ۲۰۰۵). هرچند می‌توان مکان زمین‌لغزش‌ها را با توجه به تغییرهایی که در چشم‌انداز به وجود آمده به خوبی مشخص نمود؛ ولی هنوز روش‌های کارآمد و قوی برای ارزیابی دقیق حجم زمین‌لغزش و برآورده فرسایش ناشی از آن وجود ندارد. به عبارتی، ارزیابی سطح و تعداد زمین‌لغزش با تفسیر عکس‌های هوایی و تصاویر ماهواره‌ای امکان‌پذیر است؛ ولی تعیین حجم زمین‌لغزش هنوز با چالش‌های زیادی روبروست. البته برای برآورده حجم مواد جابه‌جاشده، با توجه به وسعت و گستردگی زمین‌لغزش، پژوهشگران از روش‌های مختلف همچون رقومی کردن تصاویر ماهواره‌ای، برآورده اختلاف ارتفاع لندفرم در قسمت‌های مختلف و روش‌های میدانی به صورت ترکیبی یا انتزاعی استفاده می‌کنند (هونگر<sup>۷</sup> و همکاران، ۱۹۹۹؛ دای<sup>۸</sup> و لی<sup>۹</sup>، ۲۰۰۱؛ ایسلر<sup>۱۰</sup> و همکاران، ۲۰۰۵). تصاویر ماهواره‌ای و DEM نقش مهمی در نظارت و پایش زمین‌لغزش‌های حادث در مناطق کوهستانی دارند (کاب<sup>۱۱</sup>، ۲۰۰۲؛ مارتنه<sup>۱۲</sup> و همکاران، ۲۰۱۵؛ مارتنه و وینود کومار<sup>۱۳</sup>، ۲۰۱۳؛ تالی<sup>۱۴</sup>، ۲۰۰۵؛ ون وستن<sup>۱۵</sup> و لولی گناهون<sup>۱۶</sup>، ۲۰۰۳؛ مارتنه و همکاران، ۲۰۱۷). مدل‌سازی فیزیکی مبتنی بر ارائه مدل شبیه‌سازی شده، فرآیندهای تخریبی بر اساس مکانیک خاک و سنگ با مکانیسم پایداری شبیه در ارتباط است. اشکال این است که با توجه به ناپایداری محیط و تغییر لندفرم‌ها در طی زمان توسط فرآیندهای آبی، بازسازی وضعیت فیزیکی قبل از زمین‌لغزش معمولاً دشوار است (رید و همکاران، ۲۰۱۵). متداول‌ترین روش برای تخمین حجم زمین‌لغزش، تجزیه و تحلیل DEM چندزمانه و بازسازی توپوگرافیکی منطقه زمین‌لغزش با استفاده از وضعیت خطوط منحنی میزان در نواحی زمین‌لغزش است (چن و همکاران، ۲۰۱۴). این روش مخصوص زمین‌لغزش‌های بزرگ است و برای زمین‌لغزش‌های کوچک و متعدد کمتر به کار می‌رود (تائگ و همکاران، ۲۰۱۷).

<sup>1</sup>. Le Roux<sup>2</sup>. Lugaizi<sup>3</sup>. Samyn<sup>4</sup>. Corominas<sup>5</sup>. Von Ruette<sup>6</sup>. Jacobs<sup>7</sup>. Hungr<sup>8</sup>. Dai<sup>9</sup>. Lee<sup>10</sup>. Issler<sup>11</sup>. Kääb<sup>12</sup>. Martha<sup>13</sup>. Vinod Kumar<sup>14</sup>. Tralli<sup>15</sup>. Marth and Van Westen<sup>16</sup>. Lulie Getahun

شفیعی راد و همکاران (۱۳۸۸) کارایی مدل فاکتور اطمینان (CF) را در پهنه‌بندی خطر زمین لغزش حوضه آبخیز معلم کلایه موردنیایید قرار داده است. رضایی‌مقدم و همکاران (۱۳۹۰) با استفاده از روابط بین حجم و مساحت، حجم لغزش‌های قسمتی از گردنه صائین در شهرستان نیر را در یک دوره زمانی ۵ ساله از سال ۱۳۸۰ تا ۱۳۸۵ برآورد نمودند. حجم کل مواد لغزش‌یافته در این دوره زمانی معادل  $V_{LT} = 3/2 \times 10^7 \text{ m}^3$  می‌باشد که از سرعت جابه‌جایی معادل  $\varphi_L = 7/8 \text{ mm yr}^{-1}$  برخوردار بوده است. قنواتی و همکاران (۱۳۹۳) با استفاده از پهنه‌بندی خطر زمین لغزش (مدل کمی - کیفی) به کاربرد منطق فازی در شناسایی و پهنه‌بندی خطر زمین لغزش حوضه آبخیز طالقان پرداختند. نتایج نشان می‌دهد که به کارگیری مجموعه‌های فازی در کمی کردن و بالابردن دقت، بسیار مؤثر و مناسب‌تر از دیگر روش‌های کیفی و سلسه‌مراتب است. امیراحمدی و همکاران (۱۳۹۴) در برآورد حجم زمین لغزش‌های حوضه بقیع نیشابور، ابتدا اطلاعات مربوط به عمق و مساحت ۴۴ لغزش را گردآوری و پس از رعایت فرضیات آماری، یک مدل رگرسیونی توانی به دست آمد که با ۱۷ رابطه ارائه شده در دنیا مقایسه شد. نتایج این پژوهش نشان داد که مقادیر حجم برآورده شده توسط رابطه ارائه شده برای حوضه بقیع با داده‌های مشاهده‌ای و برخی روابط ارائه شده از سوی پژوهشگران همخوانی نسبتاً خوبی دارد که نشان‌دهنده کارایی رابطه ارائه شده است. احمدزاده و همکاران (۱۳۹۴) در پژوهشی اطلاعات مربوط به تعداد ۲۶ زمین لغزش (مساحت، حجم و عمق) حوضه گوگرد قطرور را با استفاده از ۲۵ تصویر سنجنده ASAR ماهواره‌ای ENVISAT و الگوریتم STAMPS و SBAS در فن InSAR تجزیه و تحلیل نموده و با استفاده از یک رابطه تجربی حجم توده لغزشی گوگرد برآورد نمودند. محاسبات نشان داد که در طی ۷ سال اخیر با احتساب متوسط طول، عرض و عمق جابه‌جایی به ترتیب ۲۶۰۰، ۸۰۰ و ۳۵ متر، مجموع سطح جابه‌جایی و حجم مواد جابه‌جاشده معادل  $2 \times 10^6 \text{ m}^2$  و  $2 \times 10^6 \text{ m}^3$  می‌باشد. تیموری و همکاران (۱۳۹۷)، ارتباط بین مساحت و حجم زمین لغزش‌های حوضه آبریز چهاردانگه استان مازندران، با استفاده از GIS، ارتباط بین مساحت و حجم زمین لغزش‌ها با استفاده از مدل منحنی برآورد خطی، لگاریتمی، معکوس، درجه دوم، درجه سوم، ترکیبی، توانی، منحنی ۵، منحنی رشد و نمایی برآورد نمودند. در آن مساحت زمین لغزش‌ها (متربع)، به عنوان متغیر مستقل و حجم (مترمکعب) به عنوان متغیر وابسته معرفی گردید. نتایج نشان‌دهنده برآورد حجم زمین لغزش با استفاده از رابطه  $V_L = 408 \times A_L^{1.284}$  می‌باشد. نوجوان و همکاران (۱۳۹۸) با استفاده از نقاط لغزش برداشت شده از حوضه آبخیز کم‌اصفهان، اقدام به شناسایی و پهنه‌های لغزشی منطقه نمودند. عواملی مثل ارتفاع، شب، جهت شب، زمین‌شناسی، کاربری اراضی، فاصله از گسل، فاصله از جاده، فاصله از رودخانه و مقدار بارش به عنوان متغیرهای تأثیرگذار در وقوع لغزش‌های منطقه بررسی شدند. روستایی و همکاران (۱۳۹۷) با استفاده از روش پردازش اینترفرومتری تفاضلی با استفاده از تصاویر راداری سنجنده ASAR ماهواره Envisat، به شناسایی و پایش ناپایداری دامنه‌ای در حوضه آبخیز طالقان پرداختند. نتایج پژوهش نشان داد که از نظر توزیع مکانی، مناطق لغزش شناسایی شده بیشتر در مجاورت شبکه زهکشی و مناطق مسکونی حوضه قرار داشته و این امر ضمن اشاره به تأثیر شبکه زهکشی در وقوع ناپایداری دامنه‌ای، در ارتباط با جابه‌جایی و انتقال مواد گسیخته شده به داخل شبکه هیدروگرافی و افزایش بار رسوی رودخانه نیز حائز اهمیت است. فلاخ زولی و همکاران (۱۳۹۸) با بهره‌گیری از سیستم اطلاعات مکانی و مدل‌های آنتروپی شانون و ارزش اطلاعاتی چارچوبی، نقشه مناطق حساس به زمین لغزش در منطقه رودبار الموت شرقی در استان قزوین را تهیه نمودند. ارزیابی نتایج با استفاده از شاخص احتمال تجربی نشان داد که هر دو مدل آنتروپی شانون و

ارزش اطلاعات در برآورد پهنه‌های خطر متوسط، زیاد و خیلی زیاد عملکرد مناسبی داشته‌اند. خدائی قشلاق و همکاران (۱۴۰۰) باهدف شناسایی، پایش و سنجش خطرپذیری حوضه آبریز اهرچای منطقه اهر - ورزقان در برابر زمین‌لغزش، در بازه زمانی ۲۰۰۵ تا ۲۰۱۰ از فن‌های تداخل‌سنجدی SAR استفاده نمودند. بدین منظور تعداد ۱۰ تصویر راداری از سنجنده ASAR ماهواره ENVISAT انتخاب و به روش InSAR پردازش شد. نتایج این پژوهش حاکی از فعال‌بودن تنها برخی از زمین‌لغزش‌های موجود در جنوب منطقه در طول مدت‌زمان اخذ تصاویر راداری است. یمانی و همکاران (۱۴۰۰) با استفاده از تصاویر راداری سنتینل ۱، طی بازه زمانی سه‌ماهه (از تاریخ ۲۰۱۶/۰۱/۲۱ تا ۲۰۱۸/۱۲/۲۱)، با استفاده از روش فن سری زمانی SBAS در نرم‌افزار GMTSAR، نقشه جابه‌جاگی و ناپایداری دامنه‌ای زمین را در محدوده شهر پرده‌سیس تولید نمودند. در همین راستا پتانسیل خطر وقوع حرکات دامنه‌ای، با استفاده مدل منطق فازی و AHP، با بهره‌مندی از متغیرهای محیطی شب، جهت شب، ارتفاع، رودخانه، گسل، لیتلولژی و راه ارتباطی موردارزیابی قرارگرفته‌اند. نتایج مدل‌سازی نشان داد که بیش از ۴۰ درصد محدوده در معرض وقوع زمین‌لغزش بوده که حدود ۷۰ درصد از آن‌ها بر مناطق ناپایدار حاصل از فن راداری هم‌پوشانی دارند. گورابی (۱۴۰۰) با استفاده از فن رادار دیافراگم مصنوعی (InSAR) ویژگی‌های فضایی زمین‌لغزش ناشی از زمین‌لرزه ۷/۳ از گله استان کرمانشاه را پایش و شناسایی نمود. ارزیابی‌های کمی دال بر مساحت ۰/۶ کیلومترمربع (۵۷۷ هکتار) و حجم حدود ۵۰۰ میلیون مترمکعب توده زمین‌لغزش است. در این مقاله یکی از زمین‌لغزش‌های بزرگ ایران که از نظر ژئومورفولوژیکی کمتر مورد توجه قرارگرفته، شناسایی و معرفی گردید. این زمین‌لغزش که باتوجه به شواهد ژئومورفولوژیکی به عنوان یک رخداد کاتاستروفیک محسوب می‌شود، در حوضه الموت، یکی از زیرحوضه‌های اصلی شاهروд رخ داده است که به دلیل قرارگیری شهر کنونی معلم‌کلایه در داخل آن، به عنوان زمین‌لغزش معلم‌کلایه معرفی شده است. حوضه الموت در بخش میانی واحد کوهستان البرز مرکزی، یکی از زیرحوضه‌های شاهرود از حوضه سفیدرود است. سفیدرود به عنوان یکی از رودخانه‌های مهم حوضه آبریز خزر از بهم پیوستن شاهرود و قزل‌اوزن در نزدیکی سد منجیل به وجود می‌آید. رودخانه شاهرود از بهم پیوستن دو رودخانه الموت و طالقان، در ۱۱ کیلومتری جنوب آبادی شهرک، در محلی به نام شیرکوه تشکیل شده است (قهرمانی و ثروتی، ۱۳۸۷: ۴۵) (شکل ۱).

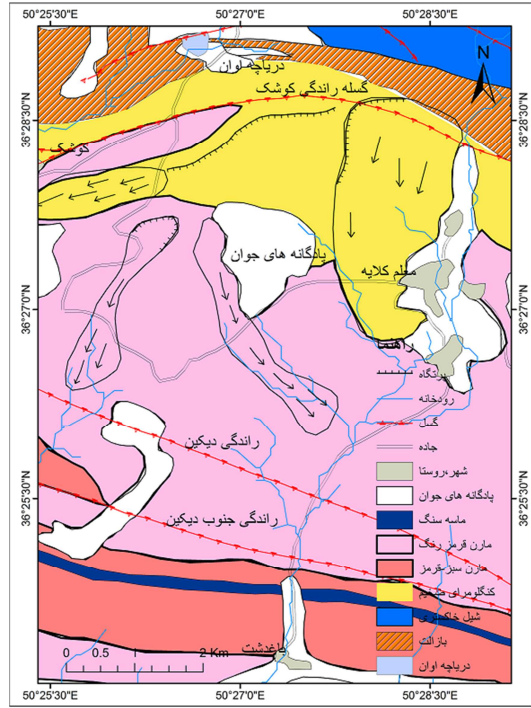


شکل ۱: موقعیت زمین‌لغزش معلم کلایه در حوضه شهرور

زمین‌لغزش معلم کلایه در تشکیلات کنگلومرايی اتفاق افتاده است که بر اثر گسل اندر رخنمون نموده است. لایه کنگلومرايی مابین رسوبات سیلتستون مارن دار، از نظر ارتفاعی مسلط به آنها و در طول بیش از ۱۳۰ کیلومتر باضخماتی نزدیک به یک کیلومتر، گسترش دارد. واحد  $M^{\text{sc}}$  که کنگلومراي اندر در آن واقع شده است، با گسترش و ستبرای خوب در شمال خاوری ورقه در اطراف روستاهای معلم کلایه، علی‌آباد وشت، حسن‌آباد و در امتداد رودخانه شهرور قابل رؤیت می‌باشد. ترکیب اصلی این واحد شامل کنگلومراي ضخیم تا توده‌ای خاکستری‌رنگ با سخت‌شدگی خوب و قطعات کوچک و بزرگ ولکانیک با ترکیب‌های متفاوت و سیمانی ولکانیک با جورشیدگی و گردشیدگی ضعیف تا متوسط همراه با لایه‌هایی از ماسه‌سنگ‌های خاکستری تا قرمز دانه‌ریز تا دانه‌متوسط است. ستبرای این کنگلومرا در اطراف رودخانه شهرور از ۲۰ تا ۱۰۰ متر در نوسان است؛ ولی در حاشیه شمال خاوری ورقه این ستبری بیشتر و تا حدود ۳۰۰ متر می‌رسد. همیری زیرین این واحد با سنگ‌های اثوسن به‌طور کامل گسله و بریده است و خود توسط مارن‌های واحد  $M^{\text{sc}}$  به‌طور هم‌شیب پوشیده می‌شود. گسله راندگی کوشک با امتداد تقریبی خاوری - باختری و شیب نزدیک به ۳۰ درجه به‌سوی شمال و درازایی بالغ بر ۱۶ کیلومتر، بیشتر در داخل واحد کنگلومراي نئوزن می‌باشد؛ اما در بخش خاوری سبب راندهشدن سنگ‌های آتش‌فشاری اوسن ( $E^{\text{ab}}$ ) بر روی کنگلومراي میوسن گردیده است. از نکات قابل توجه، وجود زمین‌لغزش‌های فراوان در پیرامون این گسله است (نقشه زمین‌شناسی ۱/۱۰۰۰۰۰ شکل ۲).

## داده‌ها

تشخیص، شناسایی و بررسی زمین‌لغزش معلم کلایه بر اساس مشاهدات میدانی و تفسیر پدیدارشناسانه آن استوار گردید. در قدم اول با مشاهدات دقیق میدانی داده‌های اولیه موردنیاز برای تجزیه و تحلیل زمین‌لغزش جمع‌آوری شد. در این مرحله اشکال لندفرم‌های داخل زمین‌لغزش شناسایی و ابعاد آن‌ها مورفومتری شد. برای شناسایی پدیدارشناسانه هر موضوعی لازم است دید همه‌جانبه و سینوپتیکی به پدیدار ایجاد شود. به این منظور به مناطق مرتفع مسلط به زمین‌لغزش صعود نموده و لندفرم‌های مستقر در آن‌ها نیز بررسی و در صورت لزوم مورفومتری گردید و نقش آن‌ها در زمین‌لغزش موردارزیابی قرار گرفت. عموماً در نقشه‌های زمین‌شناسی جنس سنگ را با تعبیر متفاوتی بیان می‌کنند که نقش آن را در ایجاد لندفرم‌ها نمی‌توان به جز در مقیاس میکرو بررسی نمود. بر همین اساس در مطالعات میدانی با دقت فراوان شرایط اولیه قبل از لغزش، باتوجه به شباهت‌های لیتو‌لوجیکی، بازسازی شد و تغییر شرایط براثر عوامل اثرگذار بیرونی، بر اساس وضع موجود مورد تجزیه و تحلیل قرار گرفت. بر این اساس، دو فرضیه متفاوت در ایجاد چنین زمین‌لغزشی مطرح و موردارزیابی قرار گرفت و بر فرضیه‌ای که بیشتر با شرایط محیطی انطباق داشت تحلیل بیشتری انجام شد.



شکل ۲: موقعیت زمین‌شناسی زمین‌لغزش معلم کلایه در حوضه الموت

در مرحله بعد حجم مواد جابه‌جاشده توسط زمین‌لغزش معلم کلایه برآورد گردید. زمین‌لغزش معلم کلایه در مدل رقومی ارتفاع باقدرت تفکیک  $12/5 * 12/5$  مترمربع و در تصاویر ماهواره‌ای لندست، به‌وضوح قابل تشخیص است، به‌وسیله آن‌ها ابعاد زمین‌لغزش تعیین گردید. خطوط منحنی میزان منعکس شده در نقشه‌های توپوگرافی  $1/50000$  در قسمت غربی زمین‌لغزش معلم کلایه با زاویه‌ای بیش از  $90$  درجه، به‌طرف نواحی مرتفع‌تر، شکسته شده‌اند.

رودخانه معلم کلایه در قسمت شرق زمین لغزش گسیختگی بین کنگلومرا اندز ایجاد کرده است؛ وجود دره ناشی از این رودخانه امکان تعیین دقیق مرز شرقی زمین لغزش را از بین برده است. با حذف محل شکست منحنی های میزان در غرب زمین لغزش و تصحیح امتداد آن ها، بر اساس وضعیت غالب منحنی های میزان به طرف غرب و در داخل و شرق زمین لغزش، در مجاورت رودخانه معلم کلایه، توپوگرافی و درنهایت DEM قبل از زمین لغزش در نرم افزار Arc GIS بازسازی گردید. با انجام محاسبات رسترنی در Arc GIS حجم مواد تخلیه شده توسط زمین لغزش برآورد گردید. در پایان با استفاده از معادلات ارائه شده حجم زمین لغزش و ضریب تغییر شکل منطقه برآورد و تفسیر شد.

### یافته های پژوهش

پراکندگی Erratic rock (تخته سنگ های بزرگ) با فاصله از سینوزیته کوهستان موجب ارائه نظریه های مختلف از جمله نظریه یخچالی در منطقه شیرکوه یزد (المدرسي و رامشت، ۱۳۸۶) و ارائه یکسری تحقیقاتی و نگارش مقالات زیادی در خصوص یخچال های کواترنری در سایر مناطق ایران شده است (جعفری و براتی، ۲۰۱۸ در توده الوند همدان؛ یمانی و زمانی ۱۳۸۶ در دره شهرستانک). بررسی این قطعه سنگ های بزرگ در معلم کلایه، دال بر وقوع یک زمین لغزش بزرگ است. زمین لغزش معلم کلایه در زیر حوضه باگشت از حوضه الموت قرار گرفته است. در حوضه الموت زمین لغزش های متعدد و بزرگی شکل گرفته است. زمین لغزش ها در لیتولوژی های در عل متفاوتی رخ می دهند. وجود Erratic rock در مارن ها بامیان لایه های مختلف، در سطح وسیع منطقه معلم کلایه دال بر جابه جایی مواد به صورت ناگهانی است که اجزاء چرخیدن و غلتیدن به Erratic rock را نداده و تا انتهای زمین لغزش نیز قطعه سنگ های بزرگ را جابه جا نموده و در جاهای مختلف بر حسب قدرت اولیه، ترمینال های متعدد قطعه سنگی را ایجاد کرده است. در اطراف شهر معلم کلایه از حوضه الموت، بلوک های کنگلومرا بی در سطح وسیعی گسترش یافته اند که از یک رخداد عظیم کاتاستوفیک حکایت دارند. مورفو لوژی منطقه دال بر یک زمین لغزش عظیمی است که منجر به پراکندگی قطعات کنگلومرا بی از یک توده اصلی شده است. بر اساس مورفومتری میدانی رسوبات و فرم سطوح ارضی، گستره زمین لغزش از نظر عرضی، به دو قسمت لغزشی و جریانی تقسیم می شود. غرب زمین لغزش، غلبه با لغزش کنگلومرا ضخیم اندز بر روی سطح مارنی بوده که از رأس به طرف قاعده زمین لغزش، با جابه جایی بیشتر رسوبات مارنی همراه بوده است. وجود بلوک های کنگلومرا بی ابعاد متفاوت، در بخش غربی، از رأس تا پایین ترین قسمت قاعده زمین لغزش، دال بر این است که وزن بسیار زیاد کنگلومرا به واسطه ضخامت بیشتر آن در قسمت غربی، به همراه نفوذ آب به داخل زمین و حرکت افقی آب بر روی رسوبات مارن تختانی و وجود شبی زیاد ناشی از گسل اندز، پتانسیل لازم را برای تحرک اولیه رسوبات این قسمت از زمین لغزش را فراهم نموده است (شکل ۳ الف). چنین شرایطی در قسمت غربی زمین لغزش باعث شده که بستر لازم برای جابه جایی مارن و رسوبات سیلیستتون قسمت شرقی فراهم گردد و ضخامت کمتری از کنگلومرا دچار لغزش گردد و به دلیل هم جواری با رودخانه، سولیفلوکسیون رخ دهد. جهت اصلی زمین لغزش ۱۵۰ درجه به سمت جنوب است؛ در همین امتداد، پشته های گلی طویلی نیز شکل گرفته اند. در قسمت شرق زمین لغزش علاوه بر رشته تپه های موازی از مارن، به طرف قاعده نیز تپه هایی با لیتولوژی غالب مارنی گسترش دارند. در بخش غربی، با فاصله گرفتن از رأس زمین لغزش، تحرک مارن بیشتر شده که به دلیل دوری از رودخانه و درنتیجه جابه جایی کمتر، به صورت تپه های منفرد و مدوری از مارن، با ارتفاع متفاوت در

درون زمین‌لغزش باقی‌مانده‌اند. شکل تپه‌های بیرون از سطح زمین‌لغزش، بهدلیل کشیدگی بیشتر در امتداد زمین‌لغزش، به بیضی نزدیک‌تر است. تپه‌های درون سطح زمین‌لغزش بیشتر تک‌شیب بوده با شیب تند و دامنه کوتاه در جهت زمین‌لغزش و شیب کند و دامنه طولانی در خلاف جهت زمین‌لغزش مشخص می‌شوند. شیب دامنه‌ها به‌طرف جریان زمین‌لغزش، بین ۵ تا ۱۰ برابر شیب دامنه‌های در جهت خلاف زمین‌لغزش است و معمولاً ارتفاع آن‌ها از سطح پایه ۲ الی ۳ متر است. در نزدیکی رأس زمین‌لغزش ارتفاع تپه‌ها به بیش از ۱۰ متر از سطح پایه و قطر آن‌ها به بیش از صد متر می‌رسد. با نزدیک‌شدن به قاعده زمین‌لغزش، قطر تپه‌ها کمتر شده ولی ارتفاع آن‌ها در حدود تپه‌های غالب در سطح زمین‌لغزش (۲ الی ۳ متر) باقی می‌ماند (شکل ۳ ب).



شکل ۳: نمایی کلی از شرق و غرب زمین‌لغزش (الف) نگاه عکس به جنوب نمونه‌ای از توده‌های مارنی جابه‌جاشده در گستره زمین‌لغزش (ب) نگاه عکس به شرق

بر اساس مشاهدات میدانی، جنس ماده سیمانی کنگلومرای اندر، رُس است. این ماده سیمانه در بلوک‌های کنگلومرایی باگذشت زمان، خاصیت سیمانه خود را از دست می‌دهد و دانه‌ها بدون سیمان در پای بلوک‌ها به صورت رسوبات بر جا باقی‌مانده‌اند و چون قطر متوسط دانه‌های تشکیل‌دهنده کنگلومرای اندر بین ۵ تا ۱۰ سانتی‌متر است رسوبات غالب کف زمین‌لغزش، بسیار درشت‌دانه با نفوذپذیری بسیار زیاد هستند که همراه با سینک‌هول‌های ناشی از زمین‌لغزش، شرایط نفوذ آب ناشی از بارش یا ذوب برف را فراهم می‌نمایند (شکل ۴ الف). در مجموع بخش وسیعی از زمین‌لغزش بهدلیل دورماندن از فرآیند آب‌های جاری شکل اولیه خود را حفظ نموده است. به علاوه، با توجه به شرایط بسیار ناهموار می‌تواند به عنوان مکان خاصی برای پدافند غیرعامل عمل نماید.

زمین‌لغزش معلم کلایه از نظر طولی از رأس به سمت قاعده به بخش‌های مختلفی تقسیم می‌شود، تقسیم‌بندی زمین‌لغزش در این جهت در بعضی از قسمتها با تقسیم‌بندی عرضی آن ادغام شده است. هرچه به سمت رأس زمین‌لغزش نزدیک می‌شویم شرایط قسمت شرقی و غربی زمین‌لغزش متفاوت‌تر می‌گردد. بیرون از سطح لغزش به سمت قاعده، محل رسوب‌گذاری مواد جابه‌جاشده است. توپوگرافی درون زمین‌لغزش در مقر معلم کلایه، توسط بشر با ساخت سکونتگاه‌ها و مرکز خدماتی شهر و فعالیت‌های کشاورزی بهشدت تغییر کرده و نمی‌توان تأثیر زمین‌لغزش را به خوبی در این محیط ردیابی نمود؛ به خصوص که لیتلولژی مارن جابه‌جاشده در بستر زمین‌لغزش همانند لیتلولژی بستر هست؛ ولی کنگلومرای اندر که به صورت بلوک‌های بزرگ یا حتی به کمک آثار بلوک‌های فرسایش یافته که از اندازه و نوع رسوبات در میدان به خوبی قابل تشخیص هستند، می‌توان حداکثر گسترش زمین‌لغزش را برآورد نمود. بر

این اساس، حداقل گسترش زمین‌لغزش تا ارتفاع ۱۴۷۷ متری بوده و نسبت به رأس زمین‌لغزش در حدود ۵ کیلومتر فاصله گرفته است. منظر زمین بعد از شهر معلم کلایه به طرف رأس زمین‌لغزش، به صورت پستی و بلندی‌هایی ناشی از لغزش‌هایی است که هم‌زمان با زمین‌لغزش اصلی در سطح کوچک اتفاق افتاده و یا بر اثر بر جایگذاری مواد جابه‌جاشده به وجود آمده‌اند. تراکم تپه‌ها و زمین‌های پست داخل آن‌ها حوضچه‌های متعددی ایجاد کرده که در مکان‌هایی که لایه مارن نفوذناپذیر اصلی در سطح زمین ظاهرشده به صورت چشم‌هایی منعکس شده است که از طریق تغییر پوشش گیاهی قابل‌ردیابی است (شکل ۴ ب). اغلب این چشم‌های به دلیل ناهمواری‌بودن زمین، وارد آبگیر و استخرهای کوچک و بزرگ می‌شوند که پوشش گیاهی آن‌ها به دلیل راکدبوردن آب به صورت نیزار درآمده‌اند (شکل ۴ پ). این سدهای لغزشی به ارتفاع بیش از ۶ متر از پایه و طول چند ده متر کاملاً مانع از خروج رواناب‌های سطح زمین‌لغزش به بیرون می‌شود. بعد از این سدهای لغزشی، بلوک‌های کنگلومرایی عظیم در غرب زمین‌لغزش و رشته‌های زمین‌لغزشی - سولیفلوکسیونی در شرق تفاوت بارزی در مورفومتری غرب و شرق زمین‌لغزش ایجاد کرده است. به طرف رأس زمین‌لغزش، در غرب غلبه با منطقه ریزشی است که باعث ایجاد چندین تالوس با ابعاد متفاوت شده است. در شرق زمین‌لغزش سطح لغزشی وجود دارد که نه لغزش و نه ریزش به شکلی که در غرب شرح آن رفت باعث وقوع آن نشده بلکه سطحی به هم پیوسته است که به صورت صفحه‌ای روی سطح ثابت زیرین به سمت پایین جابه‌جاشده و چه‌بسا بعد از اینکه سولیفلوکسیون باعث خروج مارن‌های زیر آن شده کنگلومرا به صورت پیوسته و صفحه‌ای به سمت پایین حرکت کرده و سطوح لغزشی را ایجاد کرده است. در این قسمت قبل از رشته‌های موازی زمین‌لغزش، سدهای لغزشی که در غرب زمین‌لغزش، به طرف قاعده آن گسترش داشتند، بلا فاصله بعد از رأس زمین‌لغزش و با اختلاف ارتفاع بیش از ۲۰ متر از پایه، سد لغزشی بسیار مرتفع‌تر از سدهای لغزشی در غرب زمین‌لغزش ایجاد شده است. در قسمت شرقی زمین‌لغزش به دلیل وجود رودخانه معلم کلایه و تسلط فرآیند آبی، نمی‌توان به درستی شرایط قبل از زمین‌لغزش را بازسازی نمود و همانند مناطق غربی به طور دقیق وضعیت زمین‌لغزش را بازسازی نمود. وجود ریزش‌های مختلف و تالوس‌های ضخیم و عریض دامنه‌های طرف شرق و نبود بلوک‌های کنگلومرایی به سمت قاعده زمین‌لغزش دال بر این است که زمین‌لغزش کنگلومرایی به رودخانه ختم می‌شده است (اشکال ۴ ت، ث، ج، چ و خ).

زمین‌لغزش معلم کلایه در محیطی با لیتوولوژی مقاوم و نفوذناپذیر کنگلومرا در سطح و لیتوولوژی نفوذناپذیر آندزیتی در عمق زمین رخ داده است. در این منطقه کنگلومرای ضخیم و مقاوم (کنگلومرای اندر) بر اثر گسلی به همین نام، با لایه‌های زمین‌شناسی مبني بر طاقدیس‌بودن محیط، رخمنون پیدا کرده است که در مجاورت رسوبات مارنی قرار دارد که به شدت سست و ناپایدارند (شکل ۵ الف). آثار و شواهد گسترش این زمین‌لغزش در مقیاس ماکرو در دو حالت قابل‌ردیابی است: یکی از طریق قطعات کنگلومرای جابه‌جاشده که به کمک آن‌ها می‌توان انتهای زبانه لغزش را تشخیص داد (شکل ۵ ب؛ دیگری بررسی وضعیت لایه‌های زمین‌شناسی در پایین‌دست زمین‌لغزش. آزمیزه زمین‌لغزش اولیه تقریباً در امتداد رودخانه کنونی معلم کلایه ۱۵۰ درجه است، در صورتی که جهت زمین‌لغزش باکمی انحراف در زاویه ۱۳۸ درجه قرار دارد. به عبارتی توده اصلی زمین‌لغزش به سمت ساحل چپ رودخانه و دره هدایت شده است. در این قسمت لایه‌ها فاقد چینه‌بندی خاص هستند در صورتی که در مقاطع ایجاد شده در ساحل راست

رودخانه، لایه‌های زمین‌شناسی به گونه‌ای رخمنون دارند که می‌توان شیب زمین‌شناسی آن‌ها را بررسی نمود. شیب لایه رسوی، در ساحل سمت راست رودخانه، دال بر طاقدیس بودن مکان حداکثر گسترش زمین‌لغزش است (شکل ۵ پ و ت).



شکل ۴: توده‌های کنگلومرازی و نمونه تجزیه شده آن (الف). چشممه‌های ناشی از زمین‌لغزش (ب). سدهای لغزشی عمود بر زمین‌لغزش (پ). بخش‌هایی از گستره زمین‌لغزش در قسمت شرقی (ت و ث). مرز بین زمین‌لغزش کنگلومرازی و مارنی موازی با زمین‌لغزش (ج). زمین‌لغزش صفحه‌ای (ج). سد سولی فولکسیونی زمین‌لغزش

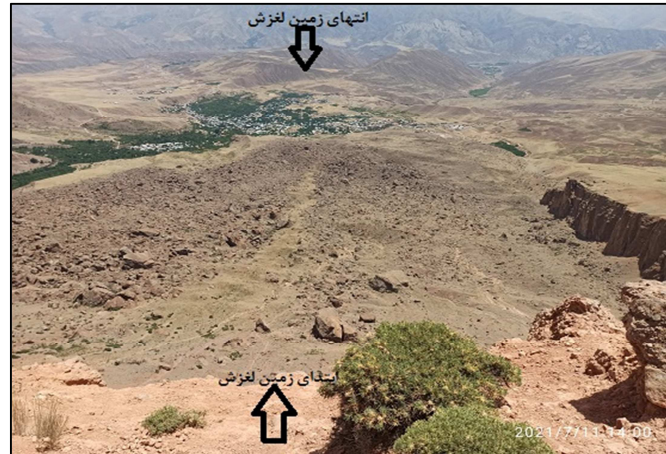
وسعت توده اصلی گسیختگی (پهنه تهی شدگی یا سطح جدایش) ۲/۶۳۲ کیلومتر بوده که بر اساس شواهد میدانی، طول حداکثر گسترش مواد زمین‌لغزشی تا ارتفاع ۱۴۷۷ متر در طولی معادل ۵ کیلومتر است که توسط قطعات سنگی در سطح زمین، قابل‌ردیابی است. توده گسیخته شده در وسعتی معادل ۱۳/۵ کیلومتر مریع جابه‌جا شده است (سطح پراکنش مواد) (شکل ۵ ت). قرارگیری قطعات بزرگ در سطح یا به‌دلیل شرایط اولیه به‌خصوص در قسمت‌های نزدیک به کنگلومرا بوده یا در قسمت‌های دورتر به‌دلیل تخلیه رسوبات منفصل سطحی براثر عوامل فرسایشی بوده است. از ارتفاع ۱۴۷۷ تا ۱۵۰۰ متر اکثر تخته‌سنگ‌ها در داخل مارن قرار دارند (شکل ۵ ت). تا ارتفاع ۱۴۷۷ متر لایه‌بندی رسوبی وجود ندارد و بیشتر تخته‌سنگ‌های بزرگ در درون مارن قرار دارند. تفاوت نوع گیاه در سطوح مربوط به زمین‌لغزش با سایر سطوح نیز می‌تواند در تشخیص گسترش زمین‌لغزش کمک نماید؛ به‌گونه‌ای که گیاه غالب در رسوبات انتهایی زبانه لغزشی، نوعی گون است، در صورتی که در سایر سطوح، گیاهان از خانواده گندمیان می‌باشد. رنگ مارن‌ها و تغییر آن‌ها از زرد تا قهوه‌ای روشن در درون زمین‌لغزش، به قرمز تا قهوه‌ای تیره‌رنگ در محیط بیرونی زمین‌لغزش نیز می‌تواند حداکثر گسترش زمین‌لغزش را تعیین نماید (شکل ۵ پ و ت).



شکل ۵: شیب لایه‌های کنگلومرایی (الف). آثار کنگلومرایی گسترش زمین‌لغزش (ب). شیب لایه‌های بعد از زمین‌لغزش (پ). وضعیت توده‌های رسوبی در حداکثر گسترش زمین‌لغزش (ت).

تبیین شواهد میدانی بروز چنین زمین‌لغزش عظیمی منجر به ارائه دو فرضیه می‌شود. وجود درز و شکاف‌های عمقی در کنگلومرای اندر است که باعث نفوذ رواناب مناطق بالا دست به درون آن شده؛ آب نفوذی علاوه بر هوازده کردن کنگلومرای اندر و فراهم نمودن شرایط گسیختگی در آن، به مارن رسیده و با توجه به عدم تخلخل مارن، جذب مارن شده و به احتمال قوی در بارندگی طولانی مدت یا ذوب برف، سطوح مارنی، از آب اشباع شده و همراه با از حد آستانه گذشتن فشار کنگلومرای اندر، حرکت بلوك‌های عظیم کنگلومرایی و رسوبات مارنی را به همراه داشته است. از نگاه دیگر، لیتولوژی مسلط به زمین‌لغزش معلم کلایه، در امتداد خط الرأس مشترک حوضه معلم کلایه و اوان تا ارتفاع

۲۴۲۵ متر، کنگلومرا هست. در ادامه خط الرأس به سمت نواحی مرتفع‌تر، سیلتستون مارن‌داری وجود دارد که در شکل‌گیری زمین‌لغزش‌های متعدد و کوچک نقش اساس داشته است؛ این زمین‌لغزش‌ها سطوحی به شکل آب‌خور و آبگیر به وجود آورده و آب را به دام انداخته و به داخل زمین نفوذ می‌دهند؛ بعلاوه مانع از رسیدن آب سطحی به کنگلومرا شده و احياناً باعث نفوذ در درز و شکاف‌های زیرزمینی آن می‌شود. با رسیدن آب به درز و شکاف‌های ساختمانی در لایه‌های کنگلومرا به درون آن نفوذ کرده و باگذشت زمان و هوازده نمودن سیمان رسی آن شده و به همراه وزن توده کنگلومرایی جداسده در امتداد درز و شکاف‌های سطحی و عمقی، حرکت دامنه‌ای وسیعی را ایجاد نموده است (شکل ۶).



شکل ۶: نمای کلی زمین‌لغزش معلم کلایه

لیتوژئی شمال زمین‌لغزش معلم کلایه یک طاقدیس متشكل از توده آهک ماسه‌سنگی با میان لایه‌هایی از کنگلومرا، سیلتستون و مارن هست. مارن بستر مناسبی برای زمین‌لغزش فراهم نموده که در طی زمان دامنه مسلط به کنگلومرا را به صورت دره‌ای موازی با کنگلومرا و عمود بر امتداد زمین‌لغزش معلم کلایه ایجاد کرده است (دره طاقدیسی). در دامنه‌های این دره، زمین‌لغزش‌های دامنه متصل به توده آهکی به سمت جنوب و در دامنه متصل به کنگلومرا به سمت شمال است؛ چنین وضعیتی باعث تخلیه بیشتر مواد پشت کنگلومرا و برهم خوردن شبکه هیدرولوژیک منطقه بالادست کنگلومرا شده است (شکل ۷ الف و ب). از این‌رو، زمین‌لغزش معلم کلایه در محل فرود یک ناویدیس و شروع طاقدیس رخ داده است که به‌وسیله گسل اندز قطع شده است؛ لایه‌های مارنی طاقدیس منطقه را قطع کرده است (شکل ۵ الف). فرود طاقدیس انتقال آب را به لایه عمقی کنگلومرا را تسهیل نموده است. چنین شرایطی باعث شده که با توجه به شبکه لایه‌های زمین‌شناسی که به سمت جنوب است، زمین‌لغزش‌هایی کوچک مسلط به کنگلومرا، آب را مطابق با شبکه لایه‌های زمین‌شناسی به زمین نفوذ دهند و به مرور زمان این آبی که به درون کنگلومرا نفوذ کرده آن را هوازده کند و زمامی که به قدر کافی فرسایش یافت، چون مارن مجاور کنگلومرا نیز نمی‌تواند آب را از خود عبور دهد، سنگینی وزن کنگلومرای مسلط به مارن از حد آستانه گذشته و یک‌دفعه تخلیه اتفاق افتاده است. درواقع کنگلومرا نقش سدی را برای آب‌های سطحی و زیرزمینی اعمال می‌نماید. بهشتی راد و همکاران (۱۳۸۸) در بررسی

مدل فاکتور اطمینان در حوضه آبخیز معلم کلایه نیز نقش عوامل زمین‌شناسی، خصوصیت‌های ژئومورفولوژیکی و هیدرولوژیکی را در موقع زمین‌لغزش‌های حوضه مورد تأیید قرار می‌دهند.



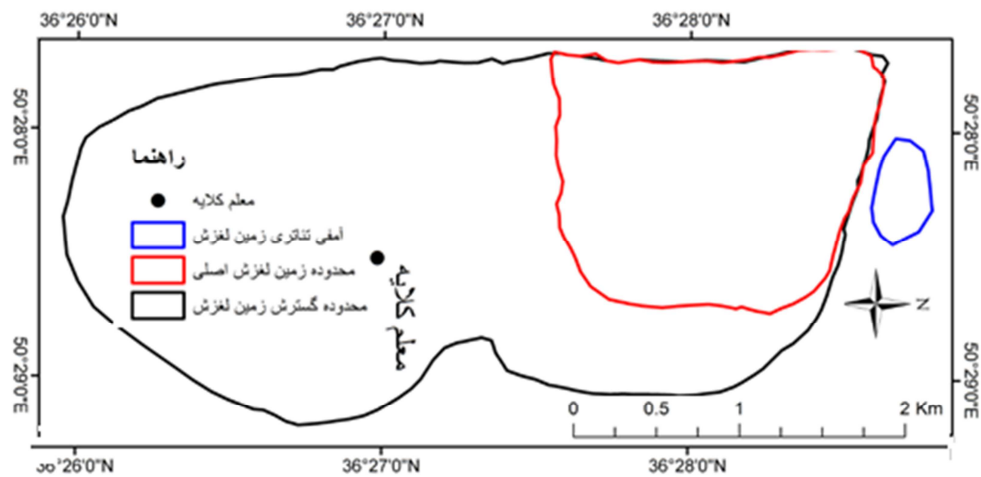
شکل ۷: جهت حرکت زمین‌لغزش‌های کوچک مسلط به زمین‌لغزش، مجاور توده کنگلومرا (الف). مجاور توده آهکی (ب).

برآوردهای خصوصیت‌های هندسی زمین‌لغزش معلم کلایه بر اساس بازسازی خطوط منحنی میزان با فاصله ۱۰ متری است؛ با کمک آن‌ها DEM اولیه منطقه تهیه گردید و با DEM کنونی مقایسه و تجزیه و تحلیل گردید. با توجه به لیتوولوژی مشترک، فرم اولیه زمین پیش از زمین‌لغزش بازسازی شد. با استفاده از اکستشن Raster calculator در Arc GIS عمل تفریق در DEM بازسازی شده و DEM اولیه اعمال گردید و تفاوت آن‌ها به صورت DEM نهایی خروجی گرفته شد. بر این اساس حداقل عمق مواد جابه‌جاشده براثر زمین‌لغزش ۱۶۳ متر، در قسمت غربی زمین‌لغزش، برآورد گردید. با توجه به سطوح بازسازی شده، در مجموع ۹۱ میلیون مترمکعب از کنگلومرا و مارن، در سطحی معادل ۲/۶۳۲ تخلیه شده و در سطحی معادل ۱۳/۵ کیلومترمربع توزیع شده است. تفاصل حجم برداشت و رسوب‌گذاری شده نشان می‌دهد که بیشتر مواد برداشت شده در غرب زمین‌لغزش بوده است. در شرق زمین‌لغزش با برتری مارن، سولیفلوکسیون، لغزش، سطوح لغزشی و ریزش، لندفرم‌های منطقه را شکل داده و به صورت روی رشته‌های موازی و به صورت سطوح مرتفع تر شده، ترسیب و منعکس شده است (اشکال ۸ و ۹ الف، ب، ج و ۵).

در پایان، برای آزمون روش تفاصل مدل‌های رقومی ارتفاع از معادلات ارائه شده برای حجم توده جابه‌جاشده براثر زمین‌لغزش استفاده گردید (رابطه ۱) (بیراوند و همکاران ۱۳۹۵: ۳۳). در این رابطه: عرض سطح گسیختگی ( $W_r$ )، طول سطح گسیختگی ( $L_r$ )، عمق سطح گسیختگی ( $D_r$ ) و  $Vol_r$  حجم اولیه زمین‌لغزش استفاده شده است.

$$Vol_1 = \frac{1}{6} \cdot \pi \cdot W_r \cdot D_r \cdot L_r \quad (1)$$

$$1/6 \times 3/14 \times 80 \times 1300 \times 1600 = 870,82667 \text{ m}^3$$

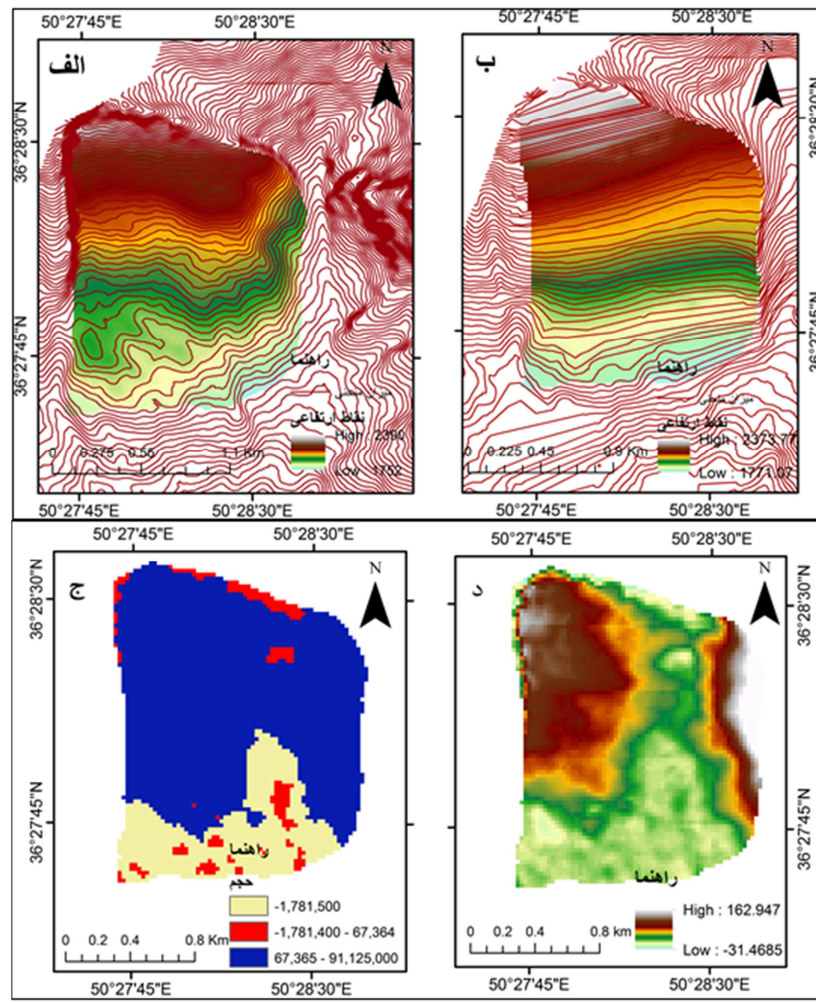


شکل ۸: ابعاد سطوح زمین‌لغزش

حجم محاسبه شده به کمک این رابطه با روش تفاضل مدل رقومی ارتفاع تفاوت چندانی ندارد که می‌تواند تأییدی بر روش ارائه شده باشد. یکی دیگر از شاخص‌های مورفومتری زمین‌لغزش، ضریب تغییر شکل زمین‌لغزش است که از رابطه (۲) به دست می‌آید در این رابطه  $L_r$ : طول سطح گسیختگی و  $W_r$ : عرض سطح گسیختگی می‌باشد. اعداد حاصل از این ضریب اگر کمتر از یک باشد زمین‌لغزش‌های با گسترش جانبی و اگر بیشتر و مساوی یک باشد زمین‌لغزش‌های کشیده را توصیف می‌نماید (بیرانوند و همکاران، ۱۳۹۵: ۴۷).

$$C_r = L_r / W_r \quad (2)$$

ضریب تغییر شکل زمین‌لغزش معلم کلایه کمتر از یک (۰/۸۱) می‌باشد که دال بر این است که جزء زمین‌لغزش‌های با گسترش جانبی می‌باشد.



شکل ۹: لایه رقومی ارتفاع پس از زمین‌لغزش (الف) پیش از زمین‌لغزش (ب). برآورد حجم توده زمین‌لغزش (ج). تفاضل لایه رقومی قبل و بعد از زمین‌لغزش (د).

### نتیجه گیری

پراکندگی سنگ‌های سرگردان (تخته‌سنگ‌های بزرگ) با فاصله زیاد از سینوزیته کوهستان موجب ارائه نظریه‌های مختلف ایران شده است. بررسی این قطعه‌سنگ‌های بزرگ در معلم کلایه، دال بر وقوع یک زمین‌لغزش بزرگ است. زمین‌لغزش معلم کلایه در زیرحوضه باگشت از حوضه الموت قرار گرفته است. این زمین‌لغزش در لیتوژوئی مقاوم و نفوذناپذیر کنگلومرا در سطح و لیتوژوئی نفوذناپذیر آندزیتی در عمق زمین رخ داده است. آثار و شواهد گسترش این زمین‌لغزش در مقیاس ماکرو در دو حالت قابل ردیابی است: یکی از طریق قطعات کنگلومرا جابه‌جاشده و دیگری بررسی وضعیت لایه‌های زمین‌شناسی در پایین دست زمین‌لغزش. رنگ مارن‌ها و تغییر آن‌ها از زرد تا قهوه‌ای روشن در درون زمین‌لغزش، به قرمز تا قهوه‌ای تیره‌رنگ در محیط بیرونی زمین‌لغزش نیز می‌تواند حداکثر گسترش

زمین‌لغزش را موردنأیید قرار دهد. در بروز چنین زمین‌لغزش عظیمی دو فرض ارائه شد: وجود درز و شکاف‌های عمیق در کنگلومرا اندز، باعث نفوذ رواناب مناطق بالادست به درون آن شده؛ نفوذ آب به درون مارن، جذب مارن شده و در بارندگی طولانی‌مدت یا ذوب برف، سطوح مارنی، از آب اشباع شده، به همراه فشار ناشی از کنگلومرا اندز مواد را تحریک کرده و حرکت توده‌ای مواد را به همراه داشته است. در فرض دوم در لیتوولوژی کنگلومرا ای مناطق مسلط به زمین‌لغزش تا ارتفاع ۲۴۲۵ متر، زمین‌لغزش‌های متعدد و کوچک نقش ایجاد کرده است؛ این زمین‌لغزش‌ها سطوحی به شکل آب‌سخور و آبگیر به وجود آورده و آب را به دام انداخته و به داخل زمین نفوذ داده‌اند و بعلاوه که مانع از رسیدن آب سطحی به کنگلومرا شده، احیاناً باعث نفوذ آب در درز و شکاف‌های زیرزمینی آن شده است. باگذشت زمان و هوازده‌نمودن سیمان رسی، در توده کنگلومرا ای در امتداد درز و شکاف‌های سطحی و عمقی گسیختگی ایجاد شده و حرکت توده‌ای وسیعی را ایجاد کرده است. در مجموع، با توجه به وضعیت مورفولوژیکی، لیتوولوژیکی و هیدرولوژیکی، زمین‌لغزشی به عرض یک کیلومتر، طول  $1/5$  کیلومتر (در امتداد غرب زمین‌لغزش) و عمق متوسط  $80$  متر در کنگلومرا اندز رخ داده است که حجمی در مجموع  $91$  میلیون مترمکعب مواد را جابه‌جا کرده است. حدنهایی جابه‌جایی مواد از رأس زمین‌لغزش به بیش از  $5$  کیلومتر رسیده است. هرچند مساحت سطح گسیختگی زمین‌لغزش در حدود  $2/632$  کیلومترمربع بوده ولی این مواد در سطحی بیش از  $13/5$  کیلومترمربع پراکنده‌شده‌اند. عامل اصلی زمین‌لغزش بزرگ معلم کلایه، زمین‌لغزش کوچک است؛ یعنی وقوف زمین‌لغزش‌های کوچک مسلط به توده‌های متصل کنگلومرا ای، با بهره‌زدن شبیب توپوگرافیکی و ترکیب لایه‌های رسوبی منجر به نفوذ آب و فراهم‌شدن زمینه لازم برای زمین‌لغزش بزرگ‌تر شده است. زمین‌لغزش‌های کوچک در بالادست موتورهای اصلی عامل اثرگذاری دومینوی زمین‌لغزش را فراهم می‌نماید؛ به این معنا که یک زمین‌لغزش تحریک‌کننده زمین‌لغزش‌های بعد می‌باشد.

## منابع

- احمدزاده، حسن؛ روستایی، شهرام؛ نیک جو، محمدرضا؛ دهقانی، مریم. (۱۳۹۴). برآورد مساحت و حجم توده لغزش با استفاده از تکنیک‌های InSAR و مشاهدات GPS (مطالعه موردی پهنه لغزشی روستای گوگرد، پژوهش‌های ژئومورفولوژی کمی،  $۲(۴)$ ، ۱۸-۲۸).
- امیراحمدی، ابوالقاسم؛ اکبری، الهه؛ پورهاشمی، سیما. (۱۳۹۴). مدل‌سازی و برآورد حجم پهنه‌های زمین‌لغزش بر پایه مساحت (مطالعه موردی: حوضه بقیع نیشاپور)، جغرافیا و برنامه‌ریزی محیطی،  $۲۶(۵۹)$ ، ۲۱۸-۲۰۳.
- بیرانوند، حجت‌الله؛ انتظاری، مژگان؛ سیف، عبداله. (۱۳۹۵). برآورد ساخته‌های مورفومتری زمین‌لغزش کبیر کوه، نشریه تحقیقات کاربردی علوم جغرافیایی، سال شانزدهم، شماره  $۴۱$ -۵۳، ۳۱-۳۰.
- بهشتی راد، مسعود؛ فیض نیا، سادات؛ سلاجقه، علی؛ احمدی، حسن. (۱۳۸۸). بررسی کارایی مدل پهنه‌بندی خطر زمین‌لغزش فاکتور اطمینان (CF) مطالعه موردی حوضه آبخیز معلم کلایه، جغرافیای طبیعی،  $۲(۵)$ ، ۲۸-۱۹.
- تیموری یانسری، زینب؛ حسین‌زاده، سید رضا؛ کاویان، عطاءالله؛ پورقاسمی، حمیدرضا. (۱۳۹۷). مدل‌سازی و برآورد حجم زمین‌لغزش‌ها بر پایه مساحت در حوضه آبخیز چهاردانگه (استان مازندران)، مجله آمایش جغرافیایی فضای، فصلنامه علمی - پژوهشی دانشگاه گلستان،  $۳۰(۳)$ ، ۹۳-۷۹.
- چورلی، ریچارد جی؛ استانلی‌ای، شوم؛ دیوید ای، سودن. ترجمه احمد معتمد، ابراهیم مقیمی. (۱۳۹۳). ژئومورفولوژی (فرآیندهای دامنه-ای، آبراهه‌ای، ساحلی و بادی)، انتشارات سمت، جلد سوم، چاپ دوم،  $۴۵۶$  ص.

- خدائی قشلاق، لیلا؛ رostاستایی، شهرام؛ مختاری، داود؛ ولیزاده کامران، خلیل. (۱۴۰۰). پایش زمین‌لغزش‌ها با استفاده از روش تداخل‌سنگی راداری InSAR (مطالعه موردنی: منطقه اهر تا ورزقان)، نشریه علمی و پژوهشی جغرافیا و برنامه‌ریزی، ۷۵(۲۵)، ۱۱۳-۱۲۶.
- رضایی‌مقدم، محمدحسین؛ فیض‌اله پور، مهدی؛ اصغری، صیاد. (۱۳۹۰). برآورد روابط ریاضی بین فاکتورهای حجم و مساحت لغزش توده‌ای در گردنه صائین، جغرافیا (فصلنامه علمی - پژوهشی انجمن جغرافیای ایران)، دوره جدید، ۲۸(۶)، ۲۰۳-۲۱۸.
- روستایی، شهرام؛ مختاری، داود؛ اشرفی فینی، زهرا. (۱۳۹۷). شناسایی و پایش ناپایداری دامنه‌ای به روش پردازش اینترفرومتری تفاضلی در حوضه آبریز طالقان، پژوهش‌های ژئومورفولوژی کمی، ۳(۷)، ۱۸-۳۰.
- سازمان جغرافیایی نیروهای مسلح، نقشه‌های توپوگرافی ۱/۵۰۰۰۰۰، شیت معلم کلایه ۶۰۶۲۱.
- سازمان زمین‌شناسی کشور، نقشه‌های زمین‌شناسی ۱/۱۰۰۰۰۰، نقشه زمین‌شناسی قزوین.
- فلح‌золی، محمد؛ وفایی نژاد، علیرضا؛ آل شیخ، علی‌اصغر؛ مدیری، مهدی؛ آقا محمدی، حسین. (۱۳۹۸). پهنگندی احتمال وقوع زمین‌لغزش با استفاده از مدل‌های آنژروپی شانون و ارزش اطلاعات در محیط GIS-مطالعه موردنی: بخش رودبار الموت شرقی - استان قزوین، فصلنامه علمی - پژوهشی اطلاعات جغرافیایی (سپهر)، ۱۱(۲)، ۱۲۳-۱۳۶.
- قوواتی، عزت‌اله؛ کرم، امیر؛ تقوی مقدم، ابراهیم. (۱۳۹۳). کاربرد منطق فازی در شناسایی و پهنگندی خطر زمین‌لغزش مطالعه موردنی حوضه آبخیز طالقان، علوم زمین (زمین‌شناسی مهندسی و محیط‌زیست)، ۹۳(۲۴)، ۹-۱۶.
- قهرمانی، شهاب؛ ثروتی، محمدرضا. (۱۳۸۷). مطالعه ژئومورفولوژی و فرسایش در حوضه آبریز الموت‌رود، فصلنامه جغرافیایی سرزمین، علمی - پژوهشی، ۱۷(۵)، ۴۵-۶۱.
- گورابی، ابوالقاسم. (۱۴۰۰). کمی سازی زمین‌لغزش بزرگ مله کبود ناشی زمین‌لرزه ۷/۳ سال ۱۳۹۶ کرمانشاه با استفاده از اینترفرومتری، نشریه تحقیقات کاربردی علوم جغرافیایی، ۴۰(۲۱)، ۴۷-۶۳.
- المدرسي، سيد على؛ رامشت، محمدحسين. (۱۳۸۶). آثار یخچالی در دره سخوید یزد، مجله فضای جغرافیایی، دانشگاه آزاد اسلامی واحد اهر، ۷(۱۹)، ۱-۳۲.
- نوجوان، محمدرضا؛ سادات شاه زیدی، سمهیه؛ داودی، محمود؛ امین‌الرعایایی، هاجر. (۱۳۹۸). پهنگندی خطر زمین‌لغزش با استفاده از تلفیق دو مدل فرآیند تحلیل سلسله‌مراتبی و فازی (مطالعه موردنی: حوضه آبخیز کمه، استان اصفهان)، پژوهش‌های ژئومورفولوژی کمی، ۷(۴)، ۱۴۲-۱۵۹.
- یمانی، مجتبی؛ حیدریان، لیلا؛ گورابی، ابوالقاسم؛ مقصودی، مهران. (۱۴۰۰). مدل‌سازی ناپایداری‌های دامنه‌ای با استفاده از تحلیل سری زمانی تصاویر راداری با تکنیک SBAS، برنامه‌ریزی و آمایش فضا، ۲۵(۲)، ۱۸۳-۲۰۶.
- یمانی، مجتبی؛ زمانی، حمزه. (۱۳۸۶). بازیابی حدود برف‌مرز دره شهرستانک در آخرین دوره یخچالی، فصلنامه جغرافیا، دانشگاه آزاد اسلامی واحد اهر، ۷(۱۹)، ۱-۳۲.
- Amirahmadi, A., Pourhashemi, S., Karami, M., & Akbari, E. (2016). Modeling of landslide volume estimation. *Open Geosciences*, 8(1), 360-370. <https://doi.org/10.1515/geo-2016-0032>
- Chau, K. T., Sze, Y. L., Fung, M. K., Wong, W. Y., Fong, E. L., & Chan, L. C. P. (2004). Landslide hazard analysis for Hong Kong using landslide inventory and GIS. *Computers & Geosciences*, 30(4), 429- 443. <https://doi.org/10.1016/j.cageo.2003.08.013>
- Chen, W. E. I. (2009). Supervision analysis and treatment review of the high slope landside of one municipal project [J]. *Shanxi Architecture*, 17.
- Chen, W., Li, X., Wang, Y., Chen, G., & Liu, S. (2014). Forested landslide detection using LiDAR data and the random forest algorithm: A case study of the Three Gorges, China. *Remote sensing of environment*, 152, 291-301. <https://doi.org/10.1016/j.rse.2014.07.004>
- corominas, j. (1996). The angle of reach as a mobility index for small and large landslides. *Canadian geotechnical*, 33, 260-271. <https://doi.org/10.1139/t96-005>
- Dai, F. C., & Lee, C. F. (2001). Terrain-based mapping of landslide susceptibility using a geographical information system: a case study. *Canadian Geotechnical Journal*, 38(5), 911-923. <https://doi.org/10.1139/t01-021>
- Harrison, J. V., & Falcon, N. L. (1938). An ancient landslip at Saidmarreh in southwestern Iran. *The Journal of Geology*, 46(3, Part 1), 296-309.
- Hovius, N., Stark, C. P., & Allen, P. A. (1997). Sediment flux from a mountain belt derived by landslide mapping. *Geology*, 25(3), 231-234. [https://doi.org/10.1130/0091-7613\(1997\)025<0231:SFFAMB>2.3.CO;2](https://doi.org/10.1130/0091-7613(1997)025<0231:SFFAMB>2.3.CO;2)

- Hungr, O., Evans, S. G., & Hazzard, J. (1999). Magnitude and frequency of rock falls and rock slides along the main transportation corridors of southwestern British Columbia. *Canadian Geotechnical Journal*, 36(2), 224-238. <https://doi.org/10.1139/t98-106>
- Hungr, O., Leroueil, S., & Picarelli, L. (2014). The Varnes classification of landslide types, an update. *Landslides*, 11(2), 167-194. <https://doi.org/10.1007/s10346-013-0436-y>
- Issler, D., De Blasio, F. V., Elverhøi, A., Bryn, P., & Lien, R. (2005). Scaling behaviour of clay-rich submarine debris flows. *Marine and Petroleum Geology*, 22(1-2), 187-194. DOI: 10.1016/j.marpetgeo.2004.10.015
- Jacobs, J. A. (2005). Designing for Effective Sediment and Erosion Control on Construction Sites and Field Manual on Sediment and Erosion Control Best Management Practices for Contractors and Inspectors: (Jerald S. Fifield). <https://doi.org/10.2113/11.2.187>
- Jafari, G., & Barati, Z. (2018). Quaternary equilibrium line altitude estimation by different methods in the Alvand mountain of Hamedan, Iran. *Applied Ecology and Environmental Research*, 16(5), 5849-5868. DOI: [10.1566/aer/1605\\_58495868](https://doi.org/10.1566/aer/1605_58495868)
- Kääb, A. (2002). Monitoring high-mountain terrain deformation from repeated air-and space borne optical data: examples using digital aerial imagery and ASTER data. *ISPRS Journal of Photogrammetry and remote sensing*, 57(1-2), 39-52. [https://doi.org/10.1016/S0924-2716\(02\)00114-4](https://doi.org/10.1016/S0924-2716(02)00114-4)
- Khezri, S., Shahabi, H., & Ahmad, B. B. (2013). Landslide susceptibility mapping in central Zab basin in GIS-based models, northwest of Iran. *Environment*, 3(4).
- Korup, O. (2005). Geomorphic hazard assessment of landslide dams in South Westland, New Zealand: fundamental problems and approaches. *Geomorphology*, 66(1-4), 167-188. <https://doi.org/10.1016/j.geomorph.2004.09.013>
- Le Roux, O., Jongmans, D., Kasperski, J., Schwartz, S., Potherat, P., Lebrouc, V., ... & Meric, O. (2011). Deep geophysical investigation of the large Séchilienne landslide (Western Alps, France) and calibration with geological data. *Engineering Geology*, 120(1-4), 18-31. <https://doi.org/10.1016/j.engeo.2011.03.004>
- Lee, S., & Pradhan, B. (2006). Probabilistic landslide hazards and risk mapping on Penang Island, Malaysia. *Journal of Earth System Science*, 115(6), 661-672.
- Lugaizi, I. (2008). Landslide Volume Monitoring Using Geophysics and Multi-temporal Digital Elevation Models: A Case Study of Trièves Area, France. ITC.
- Malamud, B. D., Turcotte, D. L., Guzzetti, F., & Reichenbach, P. (2004). Landslide inventories and their statistical properties. *Earth Surface Processes and Landforms*, 29(6), 687-711. DOI: 10.1002/esp.1064
- Martha, T. R., & Kumar, K. V. (2013). Landslide events in Okhimath, India—an assessment of landslide consequences using very high resolution satellite data. *Landslides*, 10(4), 469-479. DOI: 10.1007/s10346-013-0420-6
- Martha, T. R., Reddy, P. S., Bhatt, C. M., Raj, K. B. G., Nalini, J., Padmanabha, E. A., ... & Diwakar, P. G. (2017). Debris volume estimation and monitoring of Phuktal river landslide-dammed lake in the Zanskar Himalayas, India using Cartosat-2 images. *Landslides*, 14(1), 373-383. <https://doi.org/10.1007/s10346-016-0749-8>
- Martha, T. R., Roy, P., Govindharaj, K. B., Kumar, K. V., Diwakar, P. G., & Dadhwal, V. K. (2015). Landslides triggered by the June 2013 extreme rainfall event in parts of Uttarakhand state, India. *Landslides*, 12(1), 135-146. <https://doi.org/10.1007/s10346-014-0540-7>
- Reid, M. E. Baum, R. L. Lahusen, R. Lahusen, R. Ellis, W. L. (2008). Capturing landslide dynamics and hydrologic triggers using near-real-time monitoring. *Landslides and Engineered Slopes*. Frome the past to the future, two volomes+ CD-ROM, 201-214. DOI: 10.1201/9780203885284-c10
- Reid, M. E., Christian, S. B., Brien, D. L., & Henderson, S. (2015). Scoops3D—software to analyze three-dimensional slope stability throughout a digital landscape. US Geological Survey Techniques and Methods, book, 14. <https://dx.doi.org/10.3133/tm14A1>
- Samyn, K., Travelletti, J., Bitri, A., Grandjean, G., & Malet, J. P. (2012). Characterization of a landslide geometry using 3D seismic refraction traveltimes tomography: The La Valette landslide case history. *Journal of Applied Geophysics*, 86, 120-132. <https://doi.org/10.1016/j.jappgeo.2012.07.014>
- Saro, L., Woo, J. S., Kwan-Young, O., & Moungh-Jin, L. (2016). The spatial prediction of landslide susceptibility applying artificial neural network and logistic regression models: A case study of Inje, Korea. *Open Geosciences*, 8(1), 117-132. <https://doi.org/10.1515/geo-2016-0010>
- Schuerch, P., Densmore, A. L., McArdell, B. W., & Molnar, P. (2006). The influence of landsliding on sediment supply and channel change in a steep mountain catchment. *Geomorphology*, 78(3-4), 222-235. <https://doi.org/10.1016/j.geomorph.2006.01.025>
- Shahabi, H., & Hashim, M. (2015). Landslide susceptibility mapping using GIS-based statistical models and Remote sensing data in tropical environment. *Scientific reports*, 5(1), 1-15.
- Shoaei, Z., & Ghayoumian, J. (1998). The largest debris flow in the world, Seimareh Landslide, Western Iran. In Environmental forest science (pp. 553-561). Springer, Dordrecht.
- Tang, H., Yong, R., & Eldin, M. E. (2017). Stability analysis of stratified rock slopes with spatially variable strength parameters: the case of Qianjiangping landslide. *Bulletin of engineering geology and the environment*, 76(3), 839-853. <https://doi.org/10.1007/s10064-016-0876-4>

- Tralli, D. M., Blom, R. G., Zlotnicki, V., Donnellan, A., & Evans, D. L. (2005). Satellite remote sensing of earthquake, volcano, flood, landslide and coastal inundation hazards. *ISPRS Journal of Photogrammetry and Remote Sensing*, 59(4), 185-198. <https://doi.org/10.1016/j.isprsjprs.2005.02.002>
- Van Asch, T. W., Buma, J., & Van Beek, L. P. H. (1999). A view on some hydrological triggering systems in landslides. *Geomorphology*, 30(1-2), 25-32. [https://doi.org/10.1016/S0169-555X\(99\)00042-2](https://doi.org/10.1016/S0169-555X(99)00042-2)
- Van Den Eeckhaut, M., Verstraeten, G., & Poesen, J. (2007). Morphology and internal structure of a dormant landslide in a hilly area: the Collinabos landslide (Belgium). *Geomorphology*, 89(3-4), 258-273. <https://doi.org/10.1016/j.geomorph.2006.12.005>
- Van Westen, C. J., & Getahun, F. L. (2003). Analyzing the evolution of the Tessina landslide using aerial photographs and digital elevation models. *Geomorphology*, 54(1-2), 77-89. [https://doi.org/10.1016/S0169-555X\(03\)00057-6](https://doi.org/10.1016/S0169-555X(03)00057-6)
- Varnes, D. J. (1978). Slope movement types and processes. *Special report*, 176, 11-33. [http://onlinelibrary.wiley.com/doi/10.1002/1099-1488\(1978\)176:1<11::AID-GEOM1360176002>3.0.CO;2-1](http://onlinelibrary.wiley.com/doi/10.1002/1099-1488(1978)176:1<11::AID-GEOM1360176002>3.0.CO;2-1)
- Von Ruette, J., Lehmann, P., & Or, D. (2016). Linking rainfall-induced landslides with predictions of debris flow runout distances. *Landslides*, 13(5), 1097-1107. <https://doi.org/10.1007/s10248-016-1007>
- Watson, R. A., Wright, H. E., Schumm, S. A., & Bradley, W. C. (1969). The saidmarreh landslide, Iran. Geological Society of America Special Paper, 123, 115-139. DOI: <https://doi.org/10.1130/SPE123-p115>



## References

### References (in Persian)

- Ahmazadeh, H., Roustaei, Sh., Nikjoo, M. R., Dehghani, M., (2015). Estimation of landslide area and volume using InSAR techniques and GPS observations (case study of Gogerd village slip zone), Quantitative geomorphological research, fourth year, No. 2, pp. 28-18. [In Persian]
- Amirahmadi, A., akbari, E., pourhashemi, S., akbari, E. (2015). Modeling the Relation between Area and Volume of Landslide (Case study: Neyshabour Baqi Basin). *Geography and Environmental Planning*, 26(3), 81-98. [In Persian]
- Biranvand Ho., Entezari M., Saif A. (2016). Analysis the morphometric features of KabirKooch landslide. *Researches in Geographical Sciences*. 16 (41):31-53. URL: <http://jgs.knu.ac.ir/article-1-2652-fa.html> [In Persian]
- Beheshti Rad, M., Feyznia, S., Selajeh, A., Ahmadi, H., (2009) Evaluation of the efficiency of landslide risk zoning model (CF) Case study of Moallem Kalayeh watershed, *Natural Geography*, No. 5, Volume 2, pp. 19- 28. [In Persian]
- Chorley, R. J., Schumm, S.A., Sugden, D. E., (2014), *Geomorphology: slope, rivers, coastal and wind processes*, translated by Ahmad Motamed, Ebrahim Moghimi, Samat Publications, Volume 3, Print Second, SAMP. 456 p. [In Persian]
- Fallah Zazuli, M., Vafaei Nezhad, A., Alesheikh, A., Modiri, M., Aghamohammadi, H. (2020). Landslide hazard zoning using Shannon Entropy and Information Value models in GIS environment - Case study: East Rudbar-e Alamut District-Qazvin Province. *Scientific- Research Quarterly of Geographical Data (SEPEHR)*, 28(112), 123-136. doi: 10.22131/sepehr.2020.38611. [In Persian]
- Geographical Organization of the Armed Forces, Topographic Maps 1/50000, Teacher Sheet 6062 I. [In Persian]
- Geological Survey of the country, Geological maps 1/100000, Geological map of Qazvin. [In Persian]
- Ghahremani, Sh., Thervati, M. R., (2008), Study of Geomorphology and Erosion in Al-Motroud Watershed, *Geographical Quarterly of the Land*, Scientific-Research, Fifth Year, No. 17, pp. 61-45. [In Persian]
- Goorabi A. Quantification of mass wasting volume associated with the giant landslide Maleh Kabood induced by the 2017 Kermanshah earthquake from InSAR. *Researches in Geographical Sciences*. 2021; 21 (60):47-63 URL: <http://jgs.knu.ac.ir/article-1-3003-fa.html>. [In Persian]
- Khodaei Gheshlagh, L., Roustaei, Sh., Mokhtari, D., Valizadeh Kamran, Kh., (2021), Landslide monitoring using InSAR radar interferometry method (Case study: Ahar to Varzeqan region), *Journal of Geography and Planning*, Year 25, No. 75, pp. 126-113. [In Persian]
- Nojavan, M., Shahzeidi, S., davudi, M., Aminroaya, H. (2019). Zonation of Landslide Risk using Fuzzy and AHP Model (Case Study: Komeh Basin, Isfahan Province). *Quantitative Geomorphological Research*, 7(4), 142-159. [In Persian]
- Qanavati, E., Karam, A., Taghavi Moghadam, I. (2018). Landslide Hazard Zonation Using the Fuzzy Logic Method in Nazlo-Chay Basin. *Quantitative Geomorphological Research*, 6(4), 103-119. [In Persian]
- Rezaei Moghaddam, M. H., Faizollahpour, M., Asghari, S., (2011), Estimation of Mathematical Relationships between the Factors of Volume and Area of Landslide in Saeen Pass, *Geography (Iranian Journal of Geographical Society)*, New Volume, Year 9, Issue 28, pp. 218-203. [In Persian]
- Rezaei Moghaddam, M. H., Faizollahpour, M., Asghari, S., (2011). Estimation of Mathematical Relationships between the Factors of Volume and Area of Landslide in Saeen Pass, *Geography (Iranian Journal of Geographical Society)*, New Volume, Year 9, Issue 28, pp. 218-203. [In Persian]
- Roostaei, S., Mokhtari, D., Ashrafi fini, Z. (2019). Identification and monitoring of domain instability by differential intermetal processing In the Taleghan watershed. *Quantitative Geomorphological Research*, 7(3), 18-30. [In Persian]
- Teimoori Yanesari, Z., Hosseinzadeh, S., Kavian, A., Pour Ghasemi, H. (2019). Modeling and Landslide Volume Estimation Based on Landslide Area in Chahardangheh Basin (Mazandaran Province). *Geographical Planning of Space*, 8(30), 79-94. doi: 10.30488/gps.2019.85833. doi: 10.30488/gps.2019.85833. [In Persian]
- Yamani M, Heydarian L, goorabi A, Maghsoudi M. Modeling Domain Instabilities Using Time Series Analysis Radar images with SBAS technique. *MJSP*. 2021; 25 (2):183-205. URL: <http://hsmsp.modares.ac.ir/article-21-40275-fa.html>. [In Persian]
- Yamani, M., Zamani, H., (2007), Snow recovery around the border of Shahrestanak valley in the last glacial period, *Geography (Geographical Association of Iran)*. 12 and 13, 104-89. [In Persian]

### References (in English)

- Amirahmadi, A., Pourhashemi, S., Karami, M., & Akbari, E. (2016). Modeling of landslide volume estimation. *Open Geosciences*, 8(1), 360-370. <https://doi.org/10.1515/geo-2016-0032>
- Chau, K. T., Sze, Y. L., Fung, M. K., Wong, W. Y., Fong, E. L., & Chan, L. C. P. (2004). Landslide hazard analysis for Hong Kong using landslide inventory and GIS. *Computers & Geosciences*, 30(4), 429- 443. <https://doi.org/10.1016/j.cageo.2003.08.013>
- Chen, W. E. I. (2009). Supervision analysis and treatment review of the high slope landside of one municipal project [J]. *Shanxi Architecture*, 17.
- Chen, W., Li, X., Wang, Y., Chen, G., & Liu, S. (2014). Forested landslide detection using LiDAR data and the random forest algorithm: A case study of the Three Gorges, China. *Remote sensing of environment*, 152, 291-301. <https://doi.org/10.1016/j.rse.2014.07.004>

- corominas, j. (1996). The angle of reach as a mobility index for small and large landslides. Canadian geotechnical, 33, 260-271. <https://doi.org/10.1139/t96-005>
- Dai, F. C., & Lee, C. F. (2001). Terrain-based mapping of landslide susceptibility using a geographical information system: a case study. Canadian Geotechnical Journal, 38(5), 911-923. <https://doi.org/10.1139/t01-021>
- Harrison, J. V., & Falcon, N. L. (1938). An ancient landslip at Saidmarreh in southwestern Iran. The Journal of Geology, 46(3, Part 1), 296-309.
- Hovius, N., Stark, C. P., & Allen, P. A. (1997). Sediment flux from a mountain belt derived by landslide mapping. *Geology*, 25(3), 231-234. [https://doi.org/10.1130/0091-7613\(1997\)025<0231:SFFAMB>2.3.CO;2](https://doi.org/10.1130/0091-7613(1997)025<0231:SFFAMB>2.3.CO;2)
- Hungr, O., Evans, S. G., & Hazzard, J. (1999). Magnitude and frequency of rock falls and rock slides along the main transportation corridors of southwestern British Columbia. Canadian Geotechnical Journal, 36(2), 224-238. <https://doi.org/10.1139/t98-106>
- Hungr, O., Leroueil, S., & Picarelli, L. (2014). The Varnes classification of landslide types, an update. Landslides, 11(2), 167-194. <https://doi.org/10.1007/s10346-013-0436-y>
- Issler, D., De Blasio, F. V., Elverhøi, A., Bryn, P., & Lien, R. (2005). Scaling behaviour of clay-rich submarine debris flows. *Marine and Petroleum Geology*, 22(1-2), 187-194. DOI: 10.1016/j.marpetgeo.2004.10.015
- Jacobs, J. A. (2005). Designing for Effective Sediment and Erosion Control on Construction Sites and Field Manual on Sediment and Erosion Control Best Management Practices for Contractors and Inspectors: (Jerald S. Fifield). <https://doi.org/10.2113/11.2.187>
- Jafari, G., & Barati, Z. (2018). Quaternary equilibrium line altitude estimation by different methods in the Alvand mountain of Hamedan, Iran. Applied Ecology and Environmental Research, 16(5), 5849-5868. DOI: 10.15666/aeer/1605\_58495868
- Kääb, A. (2002). Monitoring high-mountain terrain deformation from repeated air-and space borne optical data: examples using digital aerial imagery and ASTER data. ISPRS Journal of Photogrammetry and remote sensing, 57(1-2), 39-52. [https://doi.org/10.1016/S0924-2716\(02\)00114-4](https://doi.org/10.1016/S0924-2716(02)00114-4)
- Khezri, S., Shahabi, H., & Ahmad, B. B. (2013). Landslide susceptibility mapping in central Zab basin in GIS-based models, northwest of Iran. *Environment*, 3(4).
- Korup, O. (2005). Geomorphic hazard assessment of landslide dams in South Westland, New Zealand: fundamental problems and approaches. *Geomorphology*, 66(1-4), 167-188. <https://doi.org/10.1016/j.geomorph.2004.09.013>
- Le Roux, O., Jongmans, D., Kasperski, J., Schwartz, S., Potherat, P., Lebrout, V., ... & Meric, O. (2011). Deep geophysical investigation of the large Séchilienne landslide (Western Alps, France) and calibration with geological data. *Engineering Geology*, 120(1-4), 18-31. <https://doi.org/10.1016/j.enggeo.2011.03.004>
- Lee, S., & Pradhan, B. (2006). Probabilistic landslide hazards and risk mapping on Penang Island, Malaysia. *Journal of Earth System Science*, 115(6), 661-672.
- Lugaizi, I. (2008). Landslide Volume Monitoring Using Geophysics and Multi-temporal Digital Elevation Models: A Case Study of Trieves Area, France. ITC.
- Malamud, B. D., Turcotte, D. L., Guzzetti, F., & Reichenbach, P. (2004). Landslide inventories and their statistical properties. *Earth Surface Processes and Landforms*, 29(6), 687-711. DOI: 10.1002/esp.1064
- Martha, T. R., & Kumar, K. V. (2013). Landslide events in Okhimath, India—an assessment of landslide consequences using very high resolution satellite data. *Landslides*, 10(4), 469-479. DOI: 10.1007/s10346-013-0420-6
- Martha, T. R., Reddy, P. S., Bhatt, C. M., Raj, K. B. G., Nalini, J., Padmanabha, E. A., ... & Diwakar, P. G. (2017). Debris volume estimation and monitoring of Phuktal river landslide-dammed lake in the Zanskar Himalayas, India using Cartosat-2 images. *Landslides*, 14(1), 373-383. <https://doi.org/10.1007/s10346-016-0749-8>
- Martha, T. R., Roy, P., Govindharaj, K. B., Kumar, K. V., Diwakar, P. G., & Dadhwali, V. K. (2015). Landslides triggered by the June 2013 extreme rainfall event in parts of Uttarakhand state, India. *Landslides*, 12(1), 135-146. <https://doi.org/10.1007/s10346-014-0540-7>
- Reid, M. E. Baum, R. L. Lahusen, R. Lahusen, R. Ellis, W. L. (2008). Capturing landslide dynamics and hydrologic triggers using near-real-time monitoring. *Landslides and Engineered Slopes*. Frome the past to the future, two volumes+ CD-ROM, 201-214. DOI: 10.1201/9780203885284-c10
- Reid, M. E., Christian, S. B., Brien, D. L., & Henderson, S. (2015). Scoops3D—software to analyze three-dimensional slope stability throughout a digital landscape. US Geological Survey Techniques and Methods, book, 14. <https://dx.doi.org/10.3133/tm14A1>.
- Samyn, K., Travelletti, J., Bitri, A., Grandjean, G., & Malet, J. P. (2012). Characterization of a landslide geometry using 3D seismic refraction traveltimes tomography: The La Valette landslide case history. *Journal of Applied Geophysics*, 86, 120-132. <https://doi.org/10.1016/j.jappgeo.2012.07.014>
- Saro, L., Woo, J. S., Kwan-Young, O., & Moung-Jin, L. (2016). The spatial prediction of landslide susceptibility applying artificial neural network and logistic regression models: A case study of Inje, Korea. *Open Geosciences*, 8(1), 117-132. <https://doi.org/10.1515/geo-2016-0010>
- Schuerch, P., Densmore, A. L., McArdell, B. W., & Molnar, P. (2006). The influence of landsliding on sediment supply and channel change in a steep mountain catchment. *Geomorphology*, 78(3-4), 222-235. <https://doi.org/10.1016/j.geomorph.2006.01.025>
- Shahabi, H., & Hashim, M. (2015). Landslide susceptibility mapping using GIS-based statistical models and Remote sensing data in tropical environment. *Scientific reports*, 5(1), 1-15.
- Shoaei, Z., & Ghayoumian, J. (1998). The largest debris flow in the world, Seimareh Landslide, Western Iran. In Environmental forest science (pp. 553-561). Springer, Dordrecht.

- Tang, H., Yong, R., & Eldin, M. E. (2017). Stability analysis of stratified rock slopes with spatially variable strength parameters: the case of Qianjiangping landslide. *Bulletin of engineering geology and the environment*, 76(3), 839-853. <https://doi.org/10.1007/s10064-016-0876-4>
- Tralli, D. M., Blom, R. G., Zlotnicki, V., Donnellan, A., & Evans, D. L. (2005). Satellite remote sensing of earthquake, volcano, flood, landslide and coastal inundation hazards. *ISPRS Journal of Photogrammetry and Remote Sensing*, 59(4), 185-198. <https://doi.org/10.1016/j.isprsjprs.2005.02.002>
- Van Asch, T. W., Buma, J., & Van Beek, L. P. H. (1999). A view on some hydrological triggering systems in landslides. *Geomorphology*, 30(1-2), 25-32. [https://doi.org/10.1016/S0169-555X\(99\)00042-2](https://doi.org/10.1016/S0169-555X(99)00042-2)
- Van Den Eeckhaut, M., Verstraeten, G., & Poesen, J. (2007). Morphology and internal structure of a dormant landslide in a hilly area: the Collinabos landslide (Belgium). *Geomorphology*, 89(3-4), 258-273. <https://doi.org/10.1016/j.geomorph.2006.12.005>
- Van Westen, C. J., & Getahun, F. L. (2003). Analyzing the evolution of the Tessina landslide using aerial photographs and digital elevation models. *Geomorphology*, 54(1-2), 77-89. [https://doi.org/10.1016/S0169-555X\(03\)00057-6](https://doi.org/10.1016/S0169-555X(03)00057-6)
- Varnes, D. J. (1978). Slope movement types and processes. *Special report*, 176, 11-33. [http://onlinelibrary.wiley.com/doi/10.1016/j.geomorph.2006.12.005.pdf](http://onlinelibrary.wiley.com/doi/10.1016/j.geomorph.2006.12.005)
- Von Ruette, J., Lehmann, P., & Or, D. (2016). Linking rainfall-induced landslides with predictions of debris flow runout distances. *Landslides*, 13(5), 1097-1107. <https://doi.org/10.1007/s10248-016-10007>
- Watson, R. A., Wright, H. E., Schumm, S. A., & Bradley, W. C. (1969). The saidmarreh landslide, Iran. *Geological Society of America Special Paper*, 123, 115-139. DOI: <https://doi.org/10.1130/SPE123-p115>.